

Critères de rupture basés sur la mécanique de l'endommagement

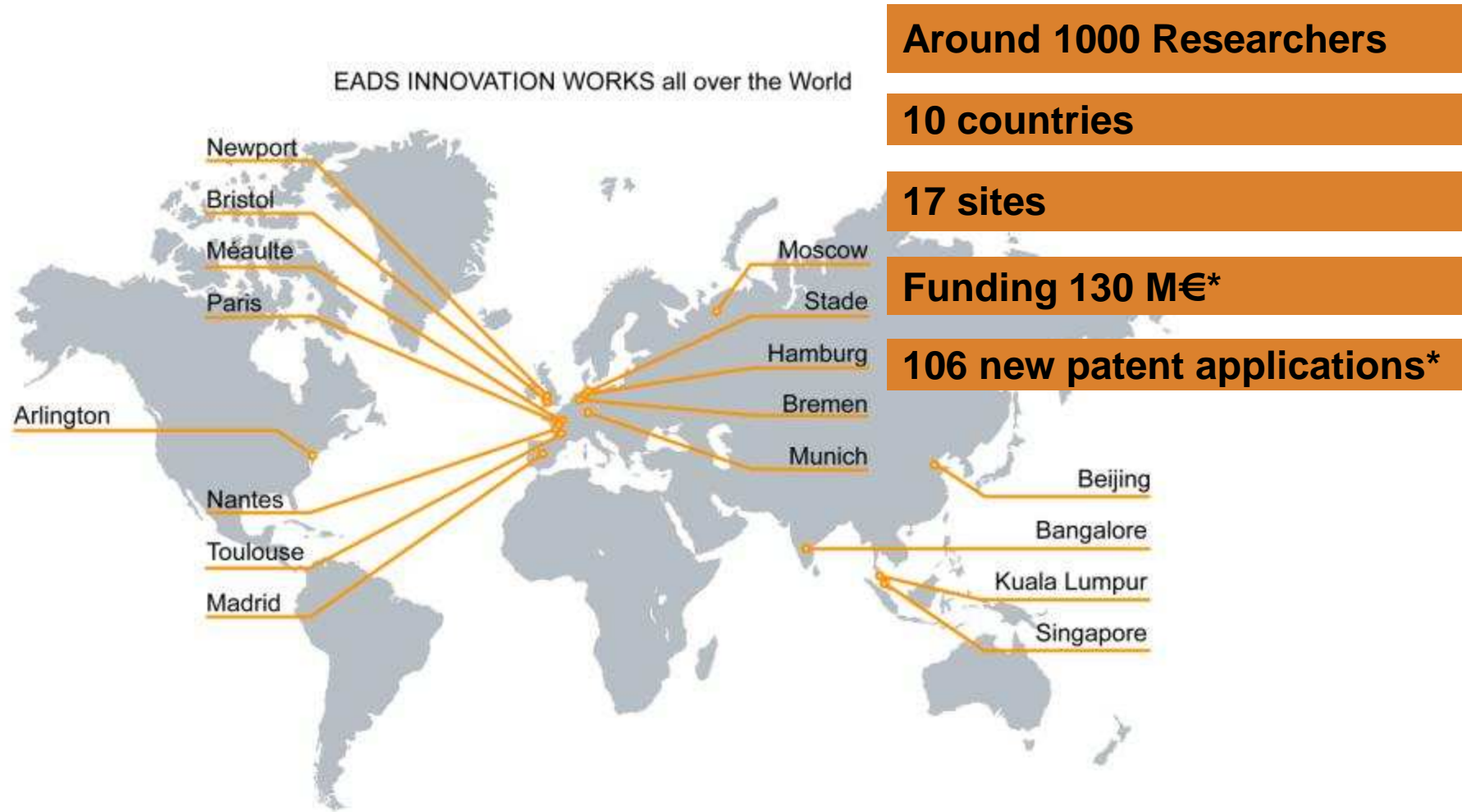
Séminaire MECAMAT, 25 septembre 2012

Dominique DELOISON
EADS Innovation Works, Suresnes

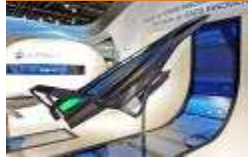
Structure Engineering, Production and Aeromechanics

EADS Innovation Works - key figures

*2011



IW Technical Capabilities Centres (TCC) overview

Composites Technologies	Metallic Technologies & Surface Engineering	Structure Engineering, Production & Aeromechanics	Sensors Electronics & Systems Integration	Engineering, Physics, IT, Security Services & Simulation	Energy & Propulsion	Innovative Concepts & Scenarios
						
<p>A centre dedicated to develop advanced light and robust materials and processes applicable to new products.</p>	<p>A centre dedicated to develop cost efficient, light, reliable and environmental friendly surface treatments, metallic/hybrid structures and associated intelligent production routes.</p>	<p>A centre dedicated to engineering of processes in the design and manufacture of advanced crossing mechanics, electronics and IT expertises.</p>	<p>A centre specialized in development and integration of sensor, communication and avionic systems to enable functional and operational improvements in safety & security, autonomy, availability and efficiency.</p>	<p>A centre dedicated to improving the quality of chain of value from initial design to after sales follow-up, by means of simulation and virtual architecture enhanced by IT technologies.</p>	<p>A centre dedicated to new energy and propulsion technologies, and the related architecture, anticipating future regulations & economical trends.</p>	<p>A centre dedicated to identifying new technologies for future and competitive products and defining the associated roadmaps with each division by means of concept-demonstrators.</p>

Pourquoi vouloir prédire la tenue statique ?

- La plupart des structures aéronautiques (hors moteurs) travaille dans un régime de bas niveaux de contraintes et déformation.
- La fatigue est le facteur dimensionnant dans la majorité des cas (transport civil)

Cependant :

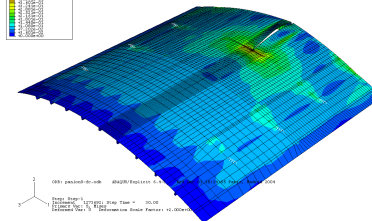
- **Transport spatial civil et militaire**



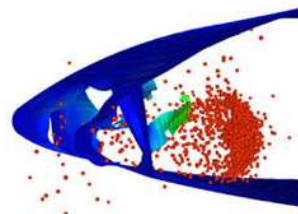
Dimensionnement vis-à-vis de la rupture

Pratique actuelle :

dimensionnement en contrainte ($> \sigma_y$) , en déformation et/en endommagement (R&T)



- **Tenue résiduelle des structures fissurées**
 - Simulation de panneaux fissurés
 - Simulation des essais de résistance à la fissuration (génération de la courbe R)
- **Impact et Crash (similarité des modèles)**



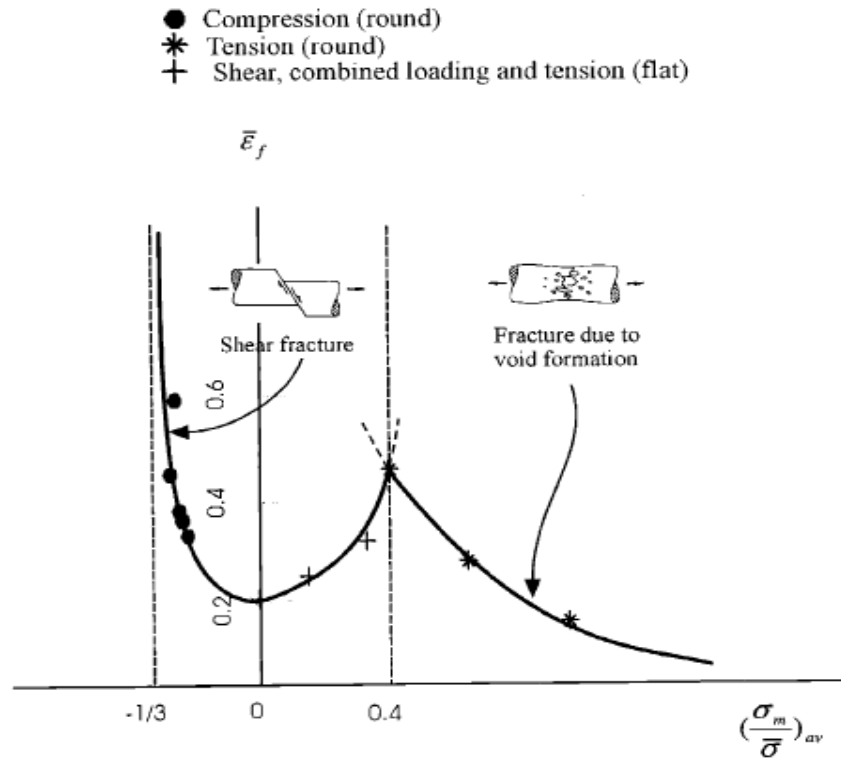
Que cherche-t-on à prédire ?

- Les efforts que peut supporter une structure
- Les déplacements à rupture (éprouvettes)
- **Quelle que soit la géométrie**
 - Trous, congés, épaulement, etc ...
 - Défauts et fissures



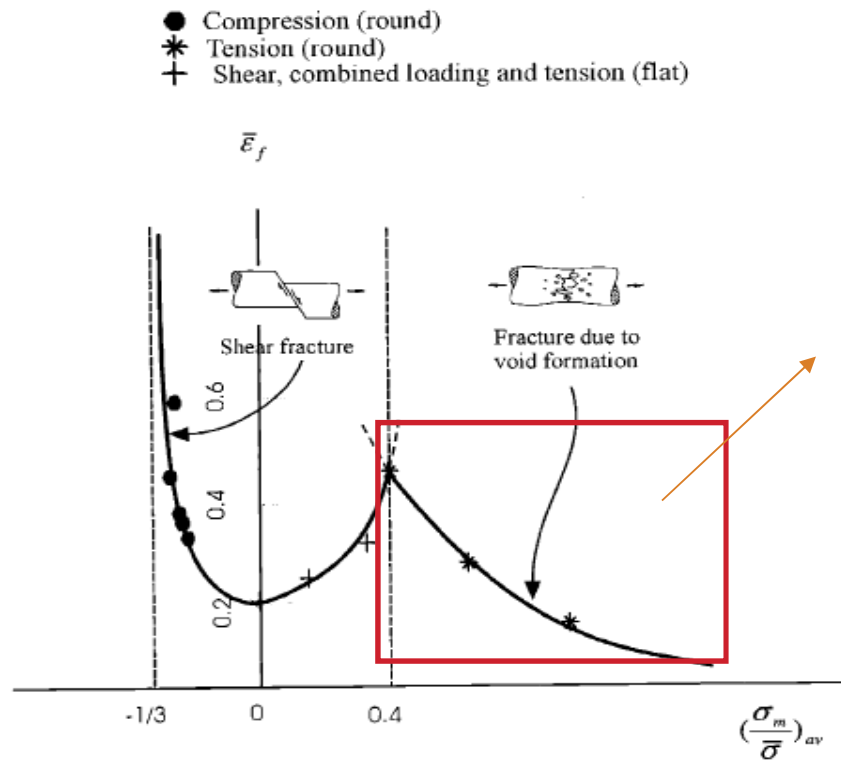
Contraintes triaxiales

Dépendance de la déformation à rupture vis à vis de la triaxialité



Bao experiments, 2003
(résultat très ancien)

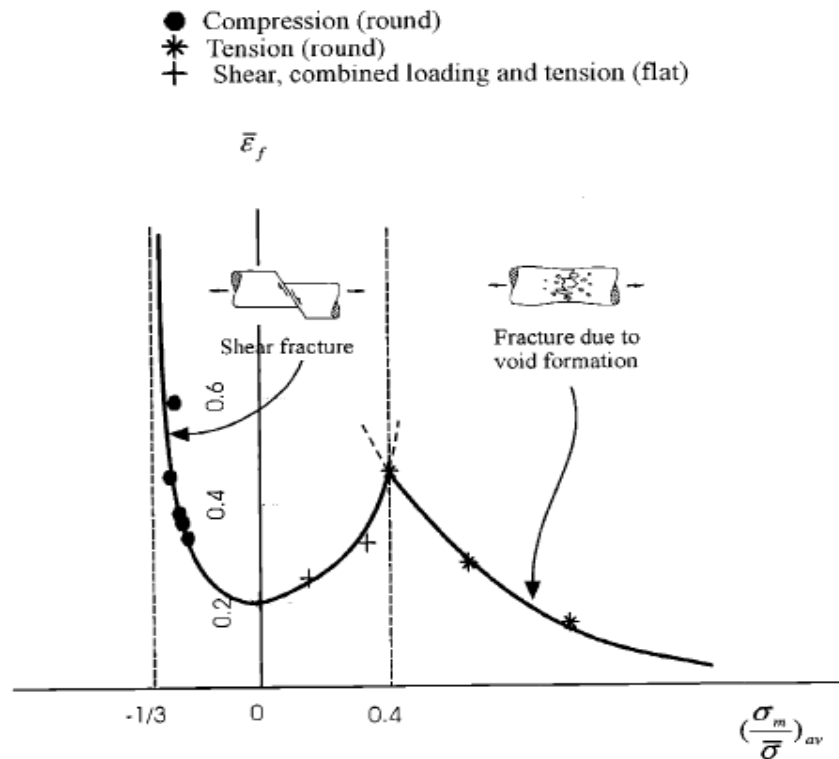
Dépendance de la déformation à rupture vis à vis de la triaxialité



Décrit par tous les modèles de déchirure ductile

Bao experiments, 2003
(résultat très ancien)

Dépendance de la déformation à rupture vis à vis de la triaxialité



Comment obtient-on ces courbes ?

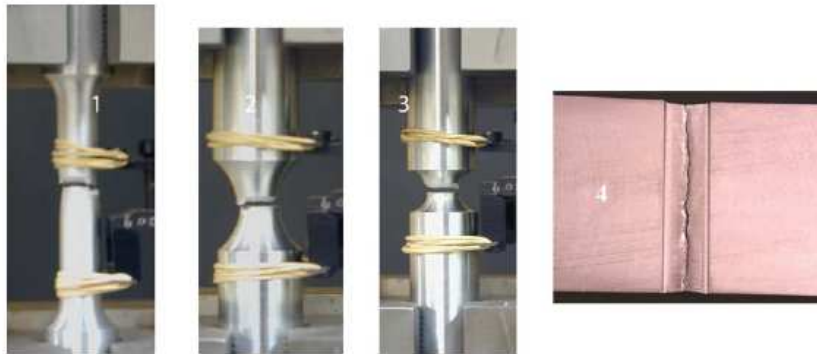
- Tracé des équations des modèles
- Simulations numériques
- Et/ou Exploitation « hybride » des résultats d'essais

Bao experiments, 2003
(résultat très ancien)

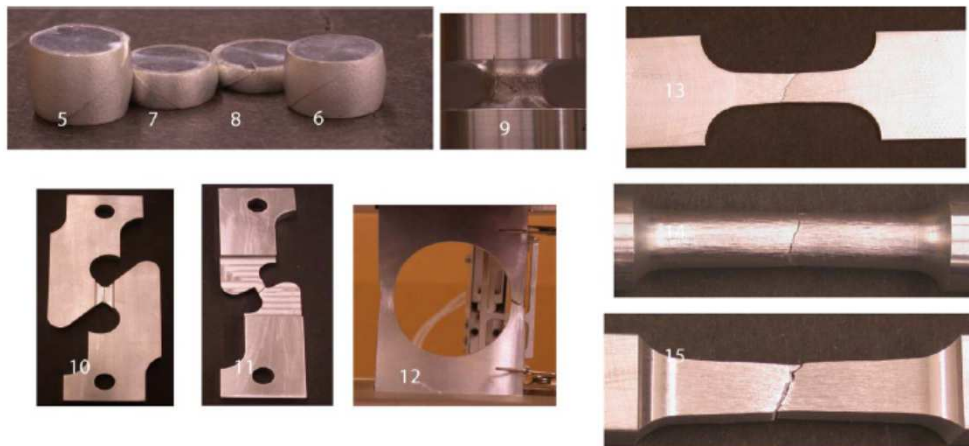
Dépendance de la déformation à rupture vis à vis de la triaxialité

Bao experiments (2003)

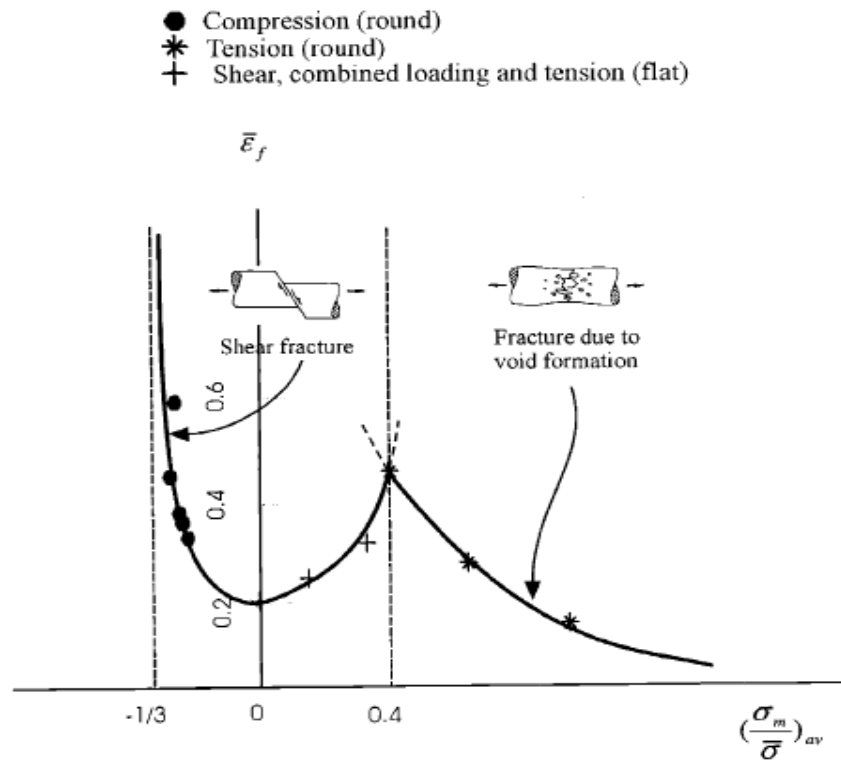
2024 T3



Fracture tests using various sample geometries and testing configuration: Tension, compression, shear

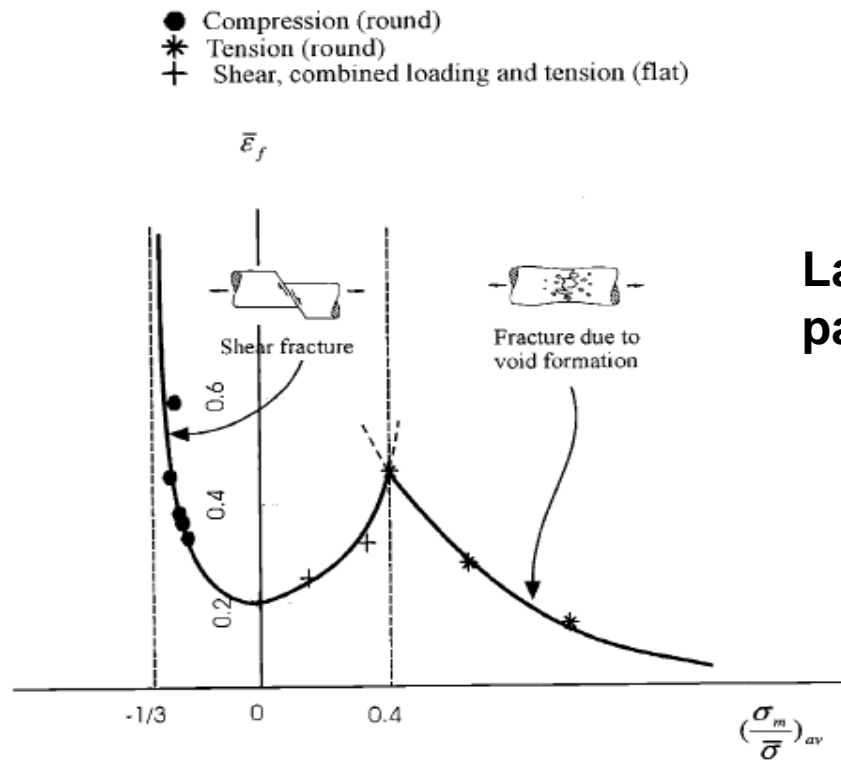


Dépendance de la déformation à rupture vis à vis de la triaxialité



Bao experiments, 2003
(résultat très ancien)

Dépendance de la déformation à rupture vis à vis de la triaxialité



La triaxialité n'est pas le seul paramètre variable dans ces essais

Bao experiments, 2003
(résultat très ancien)

Angle de Lode

Stress invariants

$$I_1 = \text{Tr}(\underline{\sigma}) = \frac{\sigma_1 + \sigma_2 + \sigma_3}{3}$$

$$J_2 = \frac{1}{2} \underline{s} : \underline{s} = \frac{1}{6} [(\sigma_1 - \sigma_2)^2 + (\sigma_2 - \sigma_3)^2 + (\sigma_1 - \sigma_3)^2]$$

$$J_3 = \det(\underline{s}) = s_1 s_2 s_3$$

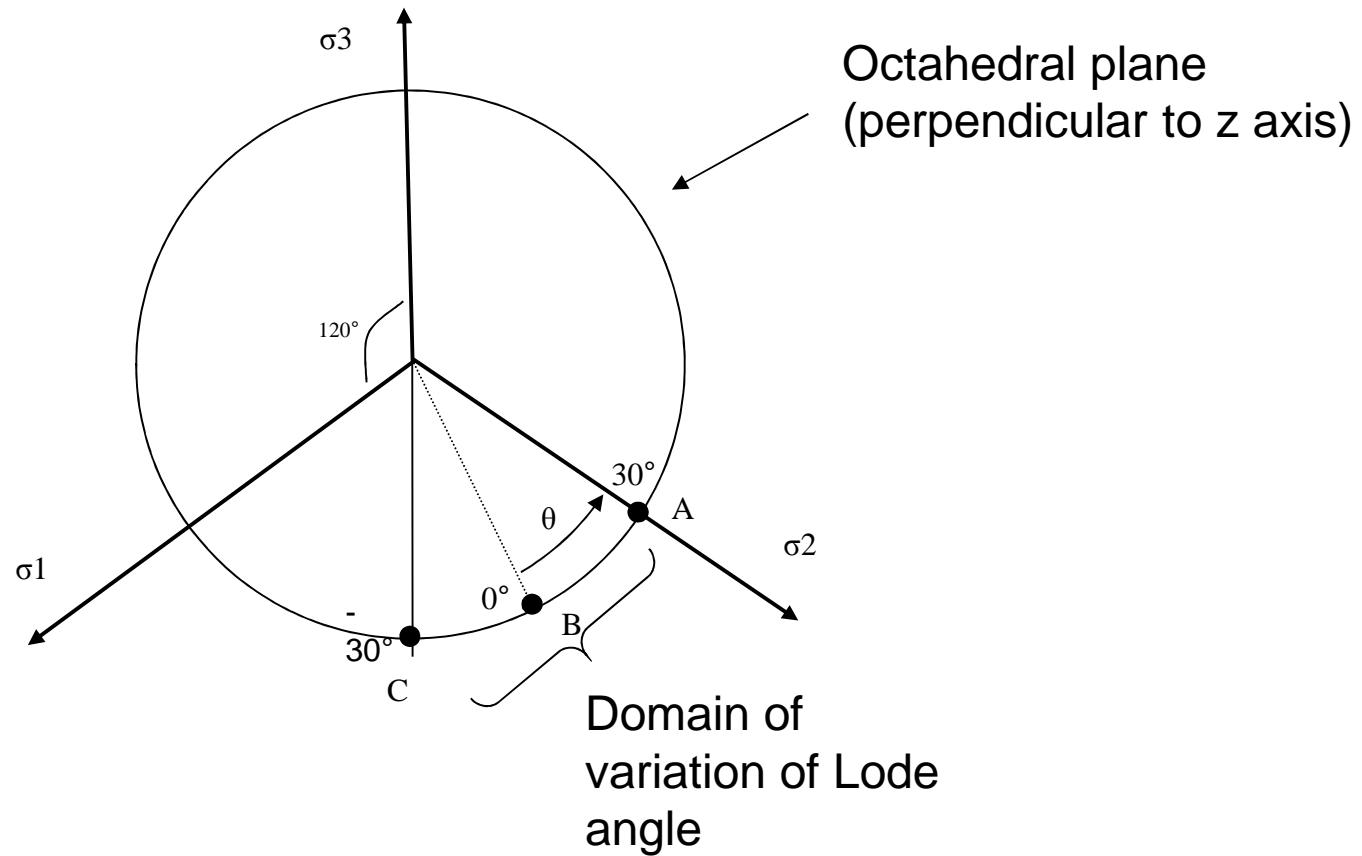
$$pres = -\frac{1}{3} I_1 \quad pres = -\frac{1}{3} \text{tr}(\underline{\sigma}) = -\frac{(\sigma_{11} + \sigma_{22} + \sigma_{33})}{3} = -\frac{\sigma_1 + \sigma_2 + \sigma_3}{3} \quad (\text{pressure})$$

$$q = \sqrt{3J_2} = \sigma_{eq} \quad (\text{Equivalent stress})$$

$$\cos(3\theta) = \frac{3\sqrt{3}}{2} \frac{J_3}{J_2^{3/2}} = \frac{27}{2} \frac{J_3}{\sigma_{eq}^3} \quad (\text{see following slides})$$

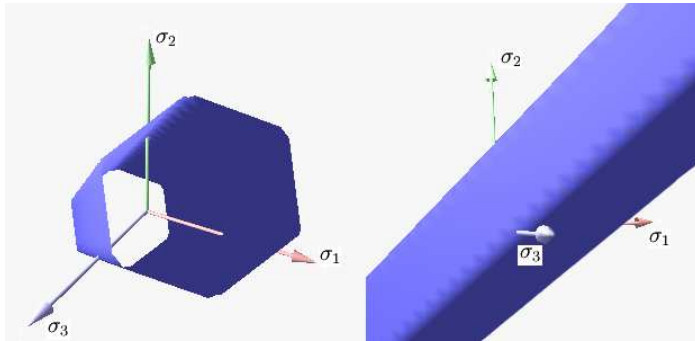
Angle de Lode

Lode angle = distinction between different stress states

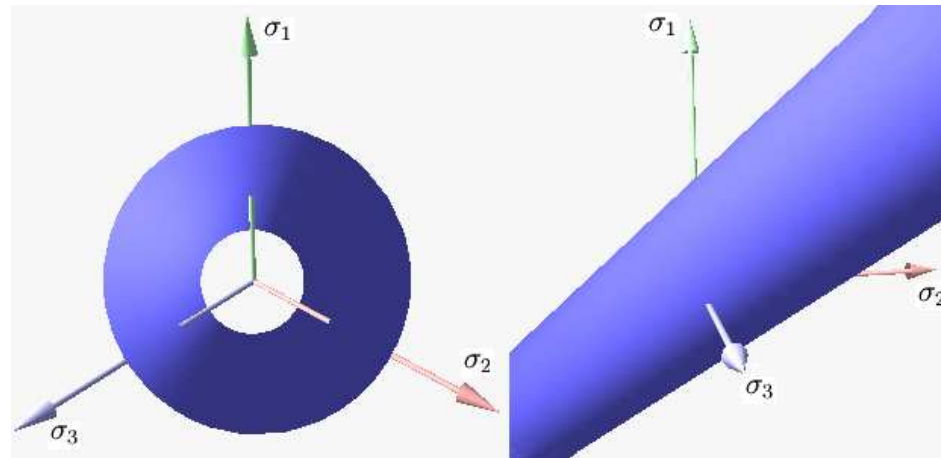


Angle de Lode

Example of a well-known criterion taking into account Lode angle



Tresca (plasticity) criterion
Sensitive to Lode Angle



Von Mises (plasticity) criterion
Insensitive to Lode Angle

Angle de Lode

$$\varepsilon = -\sqrt{3} \, p_{res} \quad \text{Pressure applied to the material point}$$

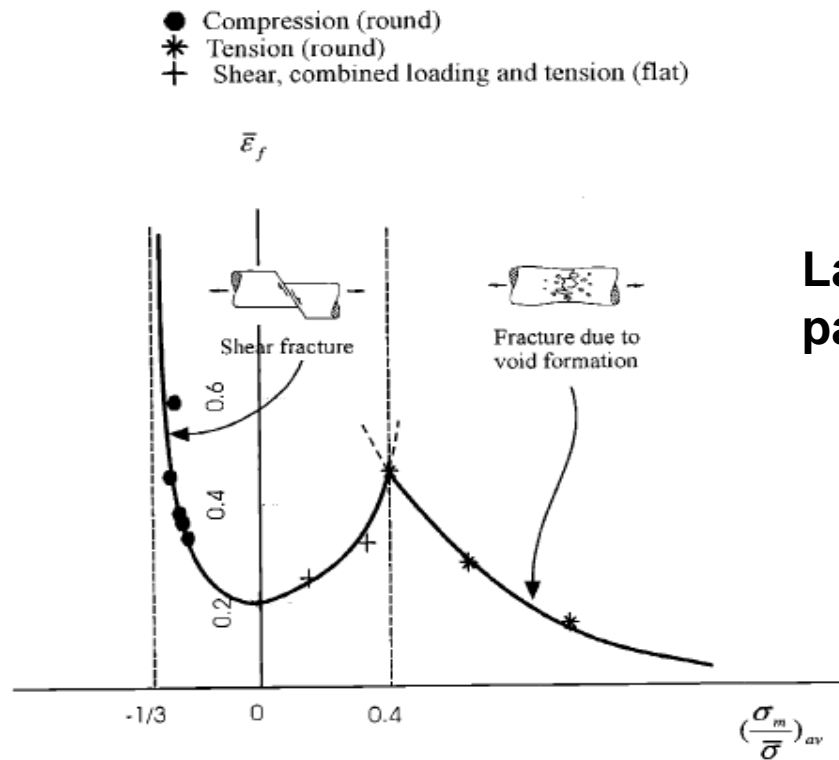
$$\rho = \sqrt{2J_2} = \sqrt{\frac{2}{3}} \sigma_{eq} \quad \text{Shear stress applied on a facet of the material point}$$

$$\bar{\theta} = 1 - \frac{6\theta}{\pi} = 1 - \frac{2}{\pi} \arccos\left(\left(\frac{r}{\sigma_{eq}}\right)^3\right)$$

$$\text{with } r = \left(\frac{9}{2} [S] \cdot [S] : [S]\right)^{1/3} = \left[\frac{27}{2} \det([S])\right]^{1/3} = \left[\frac{27}{2} (\sigma_1 + p)(\sigma_2 + p)(\sigma_3 + p)\right]^{1/3}$$

Complete description of the stress state, with a lot of information → A general damage model should use these information

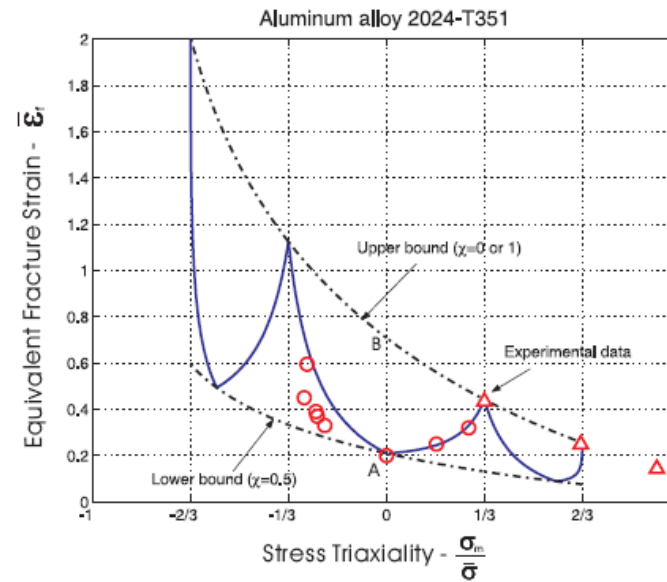
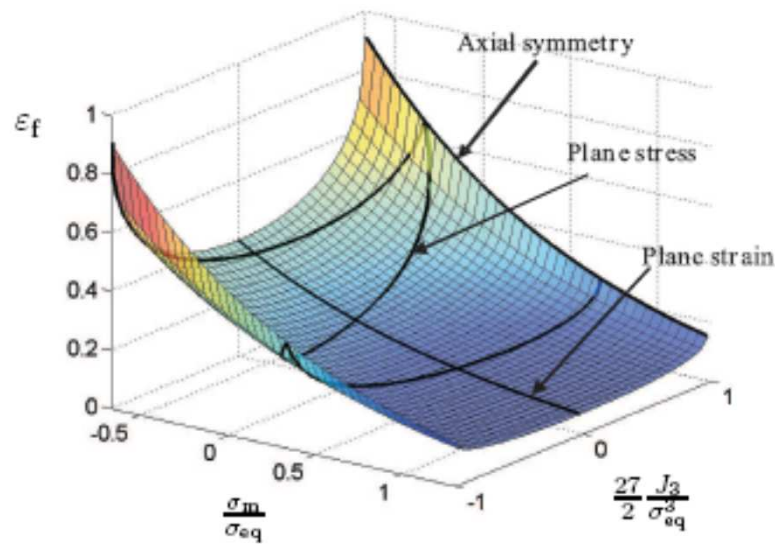
Dépendance de la déformation à rupture vis à vis de la triaxialité



La triaxialité n'est pas le seul paramètre variable dans ces essais

Bao experiments, 2003
(résultat très ancien)

Dépendance de la déformation à rupture vis à vis de la triaxialité et de l'angle de Lode



Xue-Wierzbicki (2007)

Simplification du problème

Limitations :

- Cadre classique de la déchirure ductile (Triaxialité $> 1/3$; angle de Lode figé)

→ Modèles disponibles :

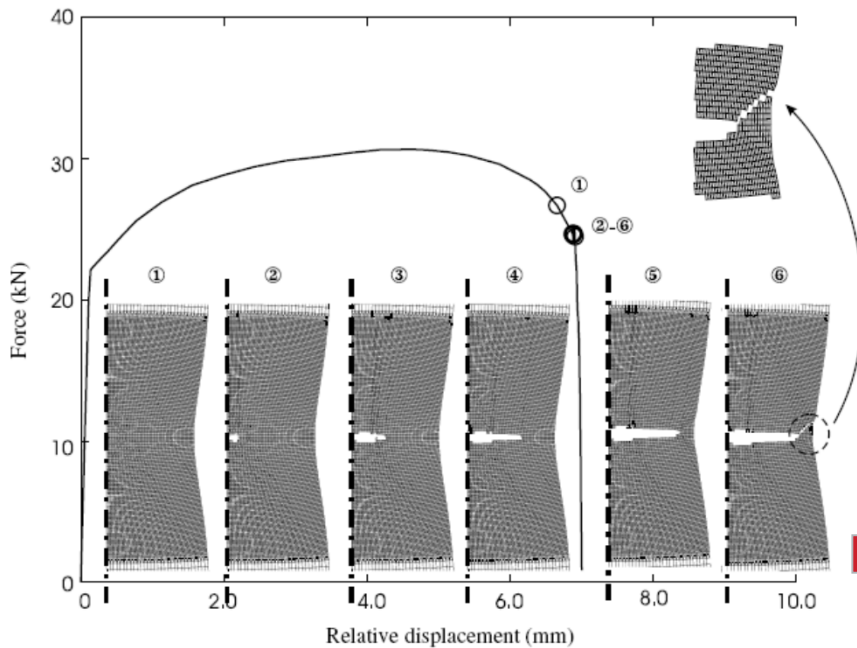
- Modèles type GTN et dérivés (GLD, Pardoen, ...)
- Modèles d'endommagement type Lemaitre

- Structures non pré-fissurées

Simplification du problème

What is really important ?

Tensile test



Teng (2007)

- For this kind of geometry, crack initiation is very late (just before final force drop)
- Once initiated, crack propagation is very fast (no impact on force-displacement curve)
- In many situations, once a crack appears, it is already too late
- No real interest to simulate final failure



Uncoupled models should be sufficient in many situations



Another advantage: standard features of commercial codes can be used: hybrid hardening, anisotropy and do not need to be reimplemented

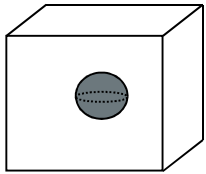
Critères de rupture basés sur la mécanique de l'endommagement

Modèles envisagés :

- Rice&Tracey
- Lemaitre
- Bonora (dérivé de Lemaitre)
- GTN n'a pas été envisagé car il pose des problèmes d'identification

Critères de rupture basés sur la mécanique de l'endommagement

Rice&Tracey



Micro-mechanic analysis of a spherical void into a perfectly plastic matrix

Infinite matrix No void interaction

$$\int_{\epsilon_{th}}^{\epsilon_R} \alpha e^{-\frac{3}{2} \frac{p_{res}}{\sigma_{eq}}} dp = \ln\left(\frac{R}{R_0}\right)_c$$

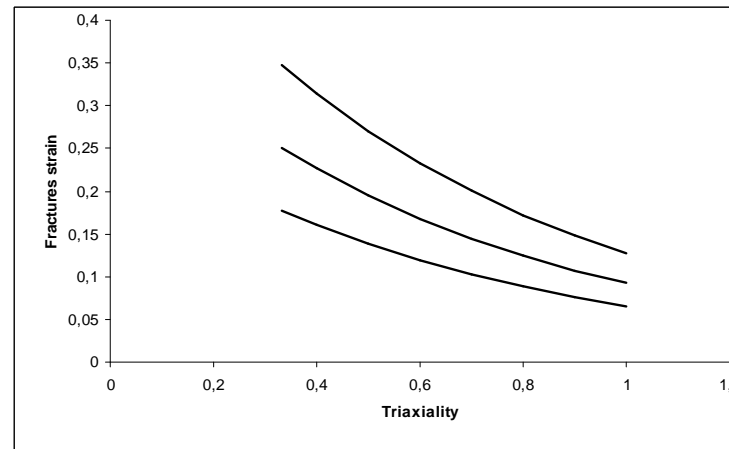
Mudry? (1982)

R Radius of the cavity

R_0 Initial radius of the cavity

p Equivalent plastic strain

$\alpha : 0.283$ (Rice)



$$\epsilon_f(\eta) = \epsilon_{th} + \left(\epsilon_f^{smooth} - \epsilon_{th} \right) \exp\left(-\frac{1}{2} - \frac{3}{2}\eta\right)$$

2 paramètres

Critères de rupture basés sur la mécanique de l'endommagement

Rice&Tracey

Hypothèse de la triaxialité constante

$$\varepsilon_f(\eta) = \varepsilon_{th} + \left(\varepsilon_f^{smooth} - \varepsilon_{th} \right) \exp\left(-\frac{1}{2} - \frac{3}{2}\eta\right)$$

Déformation à rupture pour une éprouvette lisse

Déformation seuil (hypothèse : indépendante de la triaxialité)

Critères de rupture basés sur la mécanique de l'endommagement

Modèle de Lemaitre

$$D = \int_{p_{th}}^p \left(\frac{Y}{S} \right)^s dp$$

$$Y = \frac{\tilde{\sigma}_{eq}^2}{2E} R_v \quad T_x = -\frac{pres}{\sigma_{eq} \nu}$$

$$R_v = \frac{2}{3}(1+\nu) + 3(1-2\nu) \left(\frac{-pres}{\sigma_{eq}} \right)^2$$

Plasticity potential

$$f = \tilde{\sigma}_{eq} - R - \sigma_{y0}$$

$$R = R(r) = hr$$

$$\dot{p} = \frac{\dot{r}}{1-D}$$

$$\dot{D} = \left(\frac{Y}{S} \right)^s \dot{p}$$

Y

$S, s, \varepsilon_{th}, D_0, D_{crit}$

Energy release rate

Model parameters

Initial damage \rightarrow zero

Initial yield stress

Hardening variable

Critères de rupture basés sur la mécanique de l'endommagement

Modèle de Lemaitre

Hypothèse de la triaxialité constante

$$\tilde{\sigma}_{eq} = Kp^{\frac{1}{n}}$$

$$D(\bar{\varepsilon}^{pl}) = D_0 + R_v^s (D_{cr} - D_0) \frac{\left(\bar{\varepsilon}^{pl \frac{2s}{n} + 1} - \varepsilon_{th}^{\frac{2s}{n} + 1} \right)}{\left(\varepsilon_f^{smooth \frac{2s}{n} + 1} - \varepsilon_{th}^{\frac{2s}{n} + 1} \right)}$$

5 paramètres (6 avec D_0)

$$\varepsilon_f(\eta) = \left(\varepsilon_{th}^{\frac{2s}{n} + 1} + \frac{\varepsilon_f^{smooth \frac{2s}{n} + 1} - \varepsilon_{th}^{\frac{2s}{n} + 1}}{R_v(\eta)^s} \right)^{\frac{1}{\frac{2s}{n} + 1}}$$

4 paramètres

Déformation seuil

Déformation à rupture pour une éprouvette lisse

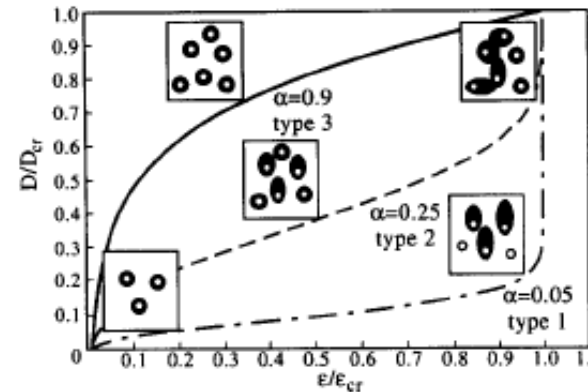
Critères de rupture basés sur la mécanique de l'endommagement

Modèle de Bonora (1997)

$$\tilde{\sigma}_{eq} = \frac{\sigma_{eq}}{1-D} = Kp^{\frac{1}{n}}$$

$$dD = \frac{K^2}{2ES} (D_{cr} - D)^{\frac{\beta-1}{\beta}} \cdot R_v \cdot \frac{1}{p} dp$$

$$S, \beta, \varepsilon_{th}, D_0, D_{crit}$$



Bonora Damage Model

$$\alpha = \beta$$

Critères de rupture basés sur la mécanique de l'endommagement

Modèle de Bonora (1997)

Hypothèse de la triaxialité constante

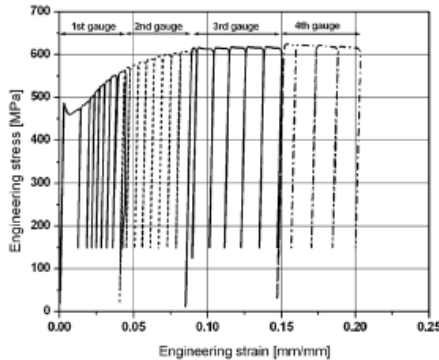
$$D(\bar{\varepsilon}^{pl}) = D_0 + (D_{cr} - D_0) \left\{ 1 - \left[1 - \frac{\ln\left(\frac{\bar{\varepsilon}^{pl}}{\varepsilon_{th}}\right)}{\ln\left(\frac{\varepsilon_f^{smooth}}{\varepsilon_{th}}\right)} R_v \right]^\beta \right\} \quad 4 \text{ paramètres (5 avec } D_0)$$

$$\varepsilon_f(\eta) \approx \varepsilon_{th} \left(\frac{\varepsilon_f^{smooth}}{\varepsilon_{th}} \right)^{\frac{1}{R_v(\eta)}} \quad 2 \text{ paramètres}$$

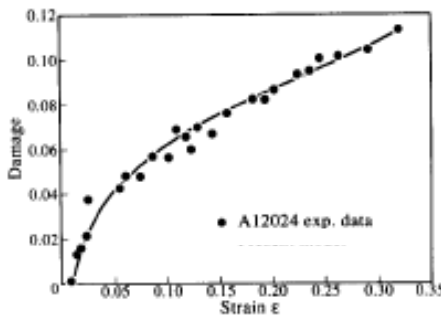
Identification des critères

$$D = 1 - \frac{\tilde{E}}{E}$$

Damage is related to evolution of Young's modulus



Complex exploitation because of triaxial state
 → Elastic modulus is not the slope of the curve



Experimental curve to derive D as a function of p

$$D(\bar{\varepsilon}^{pl}) = D_0 + R_v^s (D_{cr} - D_0) \frac{\left(\bar{\varepsilon}^{pl \frac{2s}{n} + 1} - \varepsilon_{th}^{\frac{2s}{n} + 1}\right)}{\left(\varepsilon_f^{smooth \frac{2s}{n} + 1} - \varepsilon_{th}^{\frac{2s}{n} + 1}\right)} \quad \text{(Lemaitre)}$$

n is a problem

Direct identification

$$D(\bar{\varepsilon}^{pl}) = D_0 + (D_{cr} - D_0) \left\{ 1 - \left[1 - \frac{\ln\left(\frac{\bar{\varepsilon}^{pl}}{\varepsilon_{th}}\right)}{\ln\left(\frac{\varepsilon_f^{smooth}}{\varepsilon_{th}}\right)} R_v \right]^\beta \right\} \quad \text{(Bonora)}$$

Identification des critères (autre méthode)

$$\varepsilon_f(\eta) = \varepsilon_{th} + \left(\varepsilon_f^{smooth} - \varepsilon_{th} \right) \exp\left(-\frac{1}{2} - \frac{3}{2}\eta\right) \quad \text{Ric\&Tracey (2 paramètres)}$$

$$\varepsilon_f(\eta) = \left(\varepsilon_{th}^{\frac{2s}{n}+1} + \frac{\varepsilon_f^{smooth \frac{2s}{n}+1} - \varepsilon_{th}^{\frac{2s}{n}+1}}{R_v(\eta)^s} \right)^{\frac{1}{\frac{2s}{n}+1}} \quad \text{Lemaitre (4 paramètres sur 5)}$$

$$\varepsilon_f(\eta) \approx \varepsilon_{th} \left(\frac{\varepsilon_f^{smooth}}{\varepsilon_{th}} \right)^{\frac{1}{R_v(\eta)}} \quad \text{Bonora (2 paramètres sur 4)}$$

Tous les paramètres ne sont pas identifiés
Mais, il n'ont pas tous la même importance

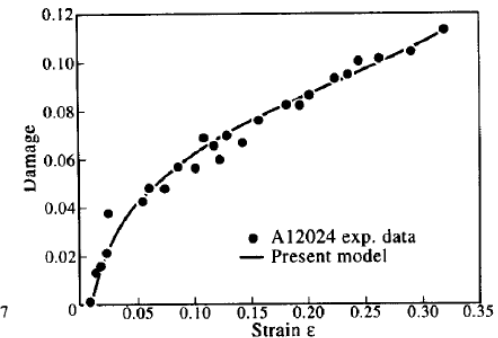
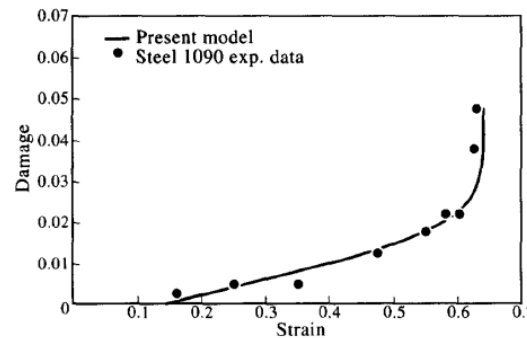
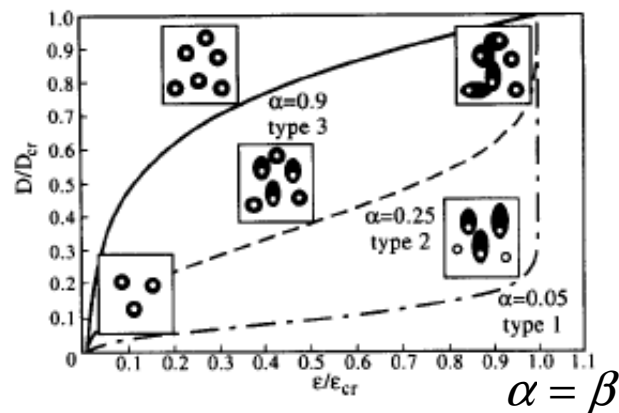
Identification des critères (autre méthode)

Calculs découplés

→ D n'est pas intéressant en soit, c'est D/D_{crit} qui est nécessaire (critère de rupture)

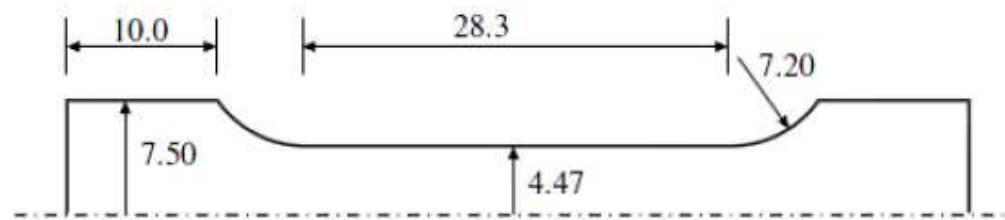
→ D_{crit} est lié à d'autres paramètres

Dans le modèle de Bonora, β pilote la non-linéarité de la croissance de l'endommagement mais pas les valeurs à rupture

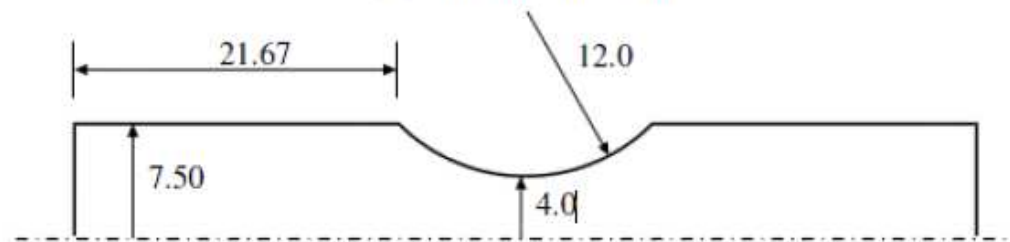


Important pour calculer les marges, mais on peut utiliser une valeur de β par famille d'alliage.

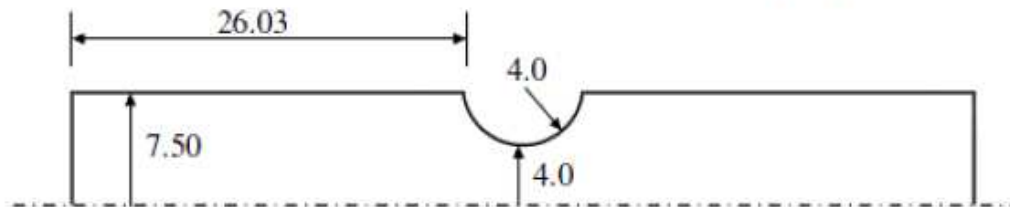
Application – 2024 Aluminium alloy



(a) Smooth round bar.



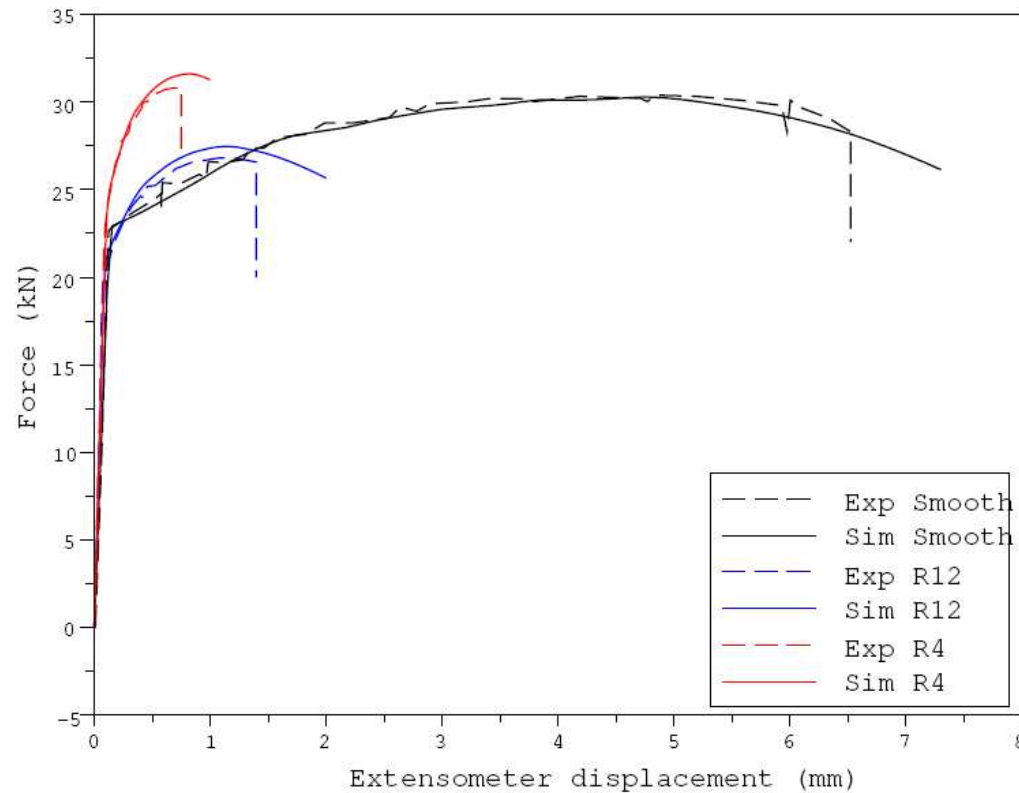
(b) Round bar of the notch radius $R = 12$ mm.



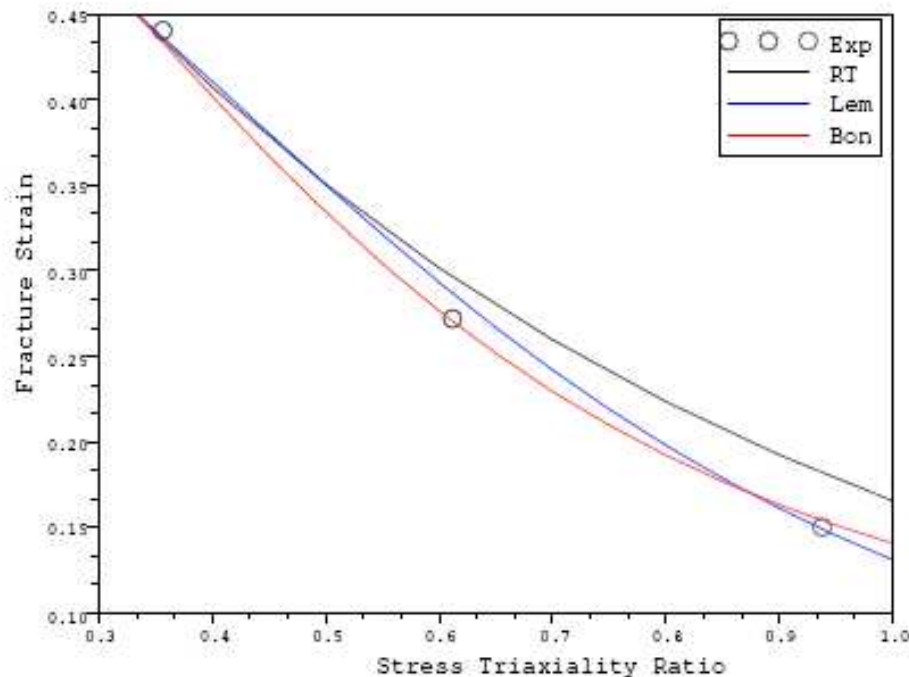
(c) Round bar of the notch radius $R = 4$ mm.

Application – 2024 Aluminium alloy

- Derivation of the elasto-plastic law (isotropic hardening) from the smooth tensile specimen
- FE simulations of the 3 experiments (fracture is not predicted)



Application – 2024 Aluminium alloy



$$\varepsilon_f(\eta) = \varepsilon_{th} + (\varepsilon_f^{smooth} - \varepsilon_{th}) \exp\left(-\frac{1}{2} - \frac{3}{2}\eta\right)$$

$$\varepsilon_f(\eta) = \left(\varepsilon_{th}^{\frac{2s}{n}+1} + \frac{\varepsilon_f^{smooth \frac{2s}{n}+1} - \varepsilon_{th}^{\frac{2s}{n}+1}}{R_v(\eta)^s} \right)^{\frac{1}{\frac{2s}{n}+1}}$$

$$\varepsilon_f(\eta) \approx \varepsilon_{th} \left(\frac{\varepsilon_f^{smooth}}{\varepsilon_{th}} \right)^{\frac{1}{R_v(\eta)}}$$

- « Experimental » points are derived from experiments using simulations (average triaxiality)
- Adjustements of the parameters to fit the experimental results

Application – 2024 Aluminium alloy

$$\bar{D}_{R\&T} = \frac{\ln\left(\frac{R}{R_0}\right)}{\ln\left(\frac{R}{R_0}\right)_c} = \frac{\int_{\varepsilon_{th}}^{\bar{\varepsilon}^{pl}} \exp\left(-\frac{3}{2} \frac{p}{q}\right) d\bar{\varepsilon}^{pl}}{\ln\left(\frac{R}{R_0}\right)_c}$$

$$\ln\left(\frac{R}{R_0}\right)_c \approx \exp\left(-\frac{1}{2}\right) \left(\varepsilon_f^{smooth} - \varepsilon_{th}\right)$$

- In the FE simulation, stress triaxiality is no longer assumed constant
- Damage indicator is calculated and cumulated at each increment

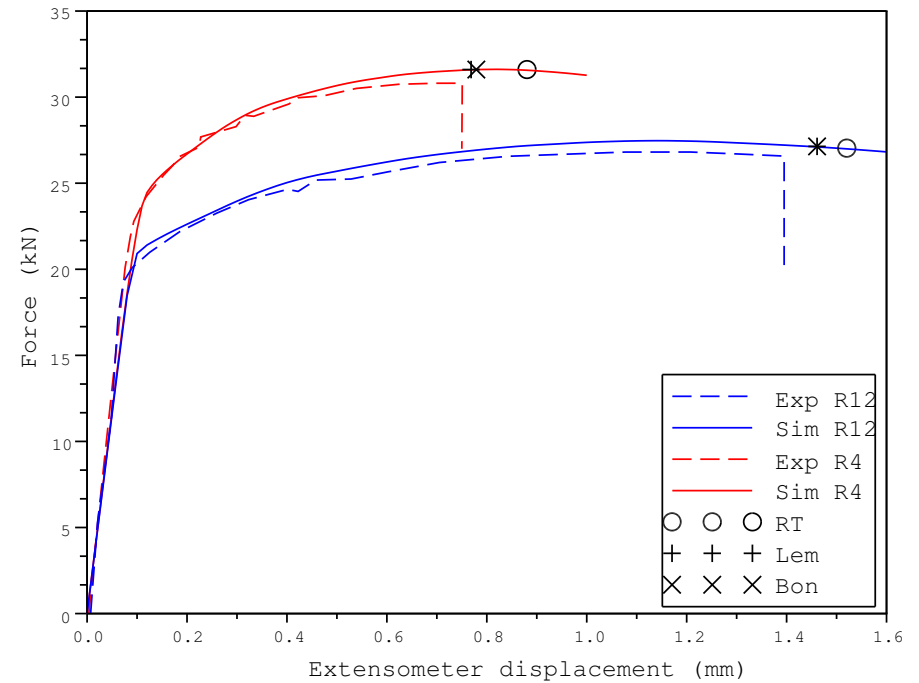
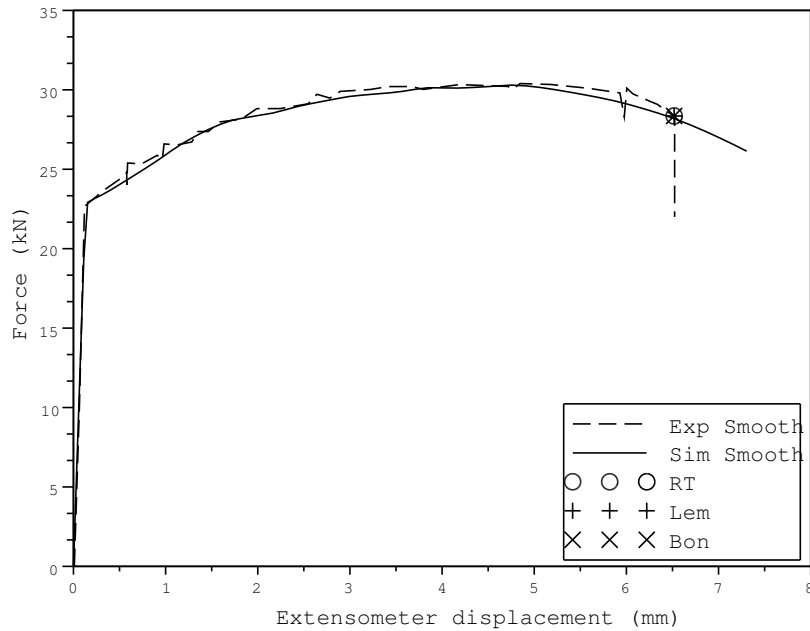
$$\bar{D}_{Lemaitre} = \frac{D}{D_{cr}} = \frac{\int_{\varepsilon_{th}}^{\bar{\varepsilon}^{pl}} \left(\frac{K^2 \bar{\varepsilon}^{pl^2} R_v}{2ES}\right)^s d\bar{\varepsilon}^{pl}}{D_{cr}}$$

$$D_{cr} \approx D_0 + \left(\frac{K^2}{2E}\right)^s \left(\frac{1}{\frac{2s}{n} + 1}\right) \left(\varepsilon_f^{smooth \frac{2s}{n} + 1} - \varepsilon_{th}^{\frac{2s}{n} + 1}\right)$$

$$\bar{D}_{Bonora} = \frac{D}{D_{cr}} = \frac{\int_{\varepsilon_{th}}^{\bar{\varepsilon}^{pl}} \frac{K^2}{2ES} (D_{cr} - D)^{\frac{\beta-1}{\beta}} R_v \frac{d\bar{\varepsilon}^{pl}}{\bar{\varepsilon}^{pl}}}{D_{cr}}$$

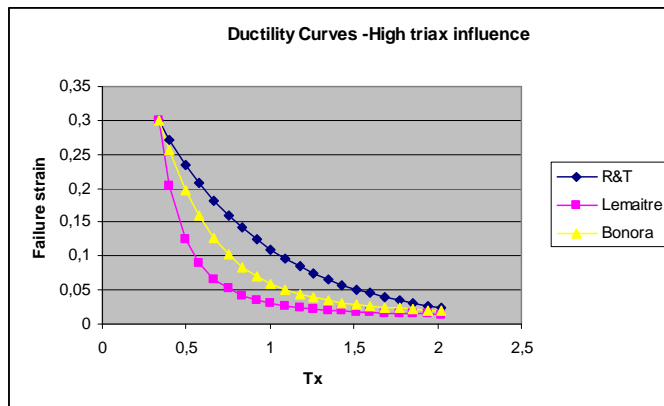
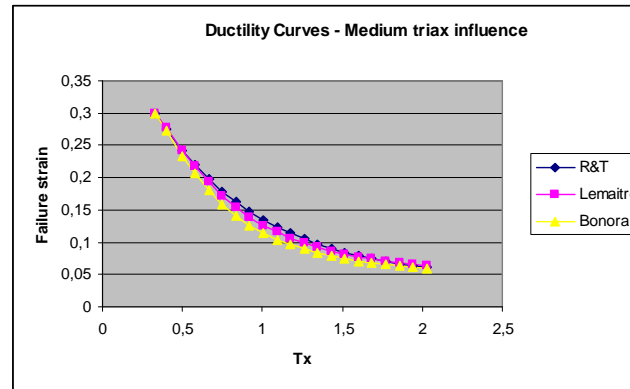
$$D_{cr} \approx D_0 + \left(\frac{1}{\beta} \frac{K^2}{2ES} \ln\left(\frac{\varepsilon_f^{smooth}}{\varepsilon_{th}}\right)\right)^\beta$$

Application – 2024 Aluminium alloy



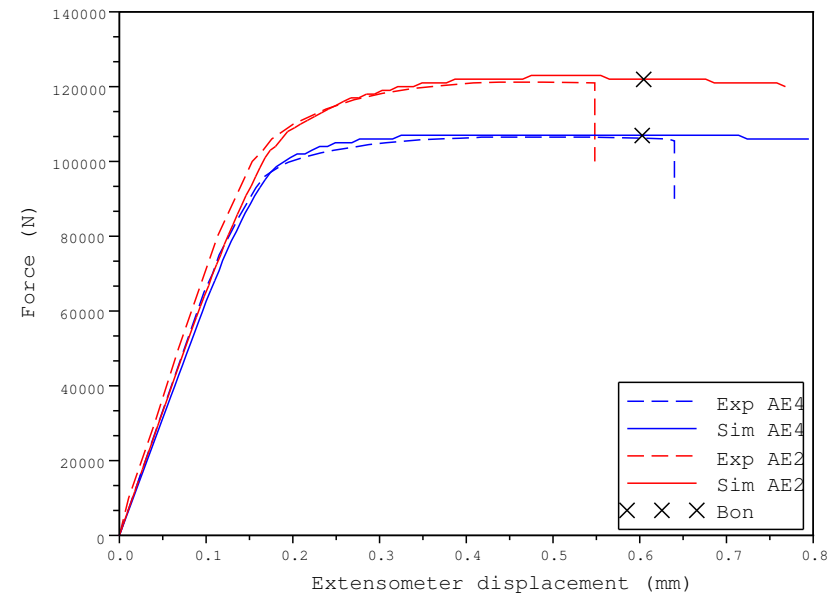
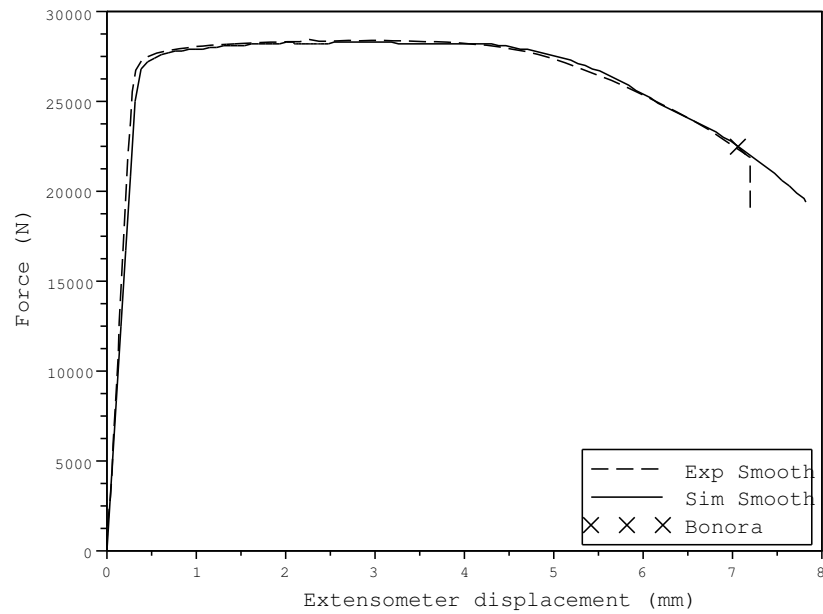
Very good agreement between simulation and experiments
 Validate the identification process

Sensitivity to stress triaxiality



- No real difference except when triaxiality influence is high or when one want to calibrate the damage model over a wide range of triaxiality
- Flexibility: Lemaitre > Bonora > R&T
- Ease of Identification: R&T=Bonora > Lemaitre
- R&T: uncoupled only ; no way to take into account a realistic damage evolution (an issue for the determination of safety margin)

Application – Titane TA6V



Good agreement between simulation and experiments
Validate the identification process

Conclusion

- Des critères de rupture ont été exprimés dans un cadre unifié
- Les limitations sont fortes (structures non fissurées, pas de cisaillement) mais permettent de simplifier considérablement les formulations
- L'identification est simple en particulier pour R&T et Bonora
- Le modèle de Bonora semble offrir la meilleure combinaison représentativité/facilité d'identification
- L'approche reste compatible avec la version couplée des modèles
- La prise en compte du cisaillement reste à faire